

МАГНИТООПТИКА КВАЗИОДНОМЕРНЫХ ЭЛЕКТРОНОВ В ОДИНОЧНОМ ГЕТЕРОПЕРЕХОДЕ GaAs–AlGaAs

*И.В.Кукушкин, А.С.Плаут¹⁾, К. фон Клитцинг¹⁾,
К.Плог¹⁾, Д.Хайтман¹⁾*

В одиночном гетеропереходе GaAs–AlGaAs с квантовыми нитями по спектрам излучательной рекомбинации квазиодномерных электронов с фотовозбужденными дырками определена величина одномерного квантования. Показано, что форма потенциальной ямы сильно меняется в магнитном поле и определяется числом заполненных квантовых состояний. Обнаружено увеличение эффективной массы электронов в квазиодномерном случае.

1. В последнее время большой интерес вызывают исследования свойств одномерных и нульмерных электронов в полупроводниковых микроструктурах. В этих объектах было обнаружено квантование проводимости ¹, пробой эффекта Холла ², квантовые флуктуации проводимости ³ и другие явления. Однако, даже основные характеристики энергетического спектра таких электронных систем (включая величину межподзонного одномерного квантования), а также форма потенциальной ямы изучены не достаточно.

Для исследования энергетического спектра квазиодномерных электронов мы использовали спектроскопический метод, основанный на изучении излучательной рекомбинации двумерных (а при наличии квантовых нитей – одномерных) электронов с фотовозбужденными дырками) ⁴. Этот метод является одним из наиболее мощных способов исследования плотности состояний электронов и позволяет в случае двумерной системы прямым образом измерять величины межподзонного ⁵, циклотронного ⁶, и спинового ⁷ расщеплений.

2. В работе исследовались квазиодномерные структуры, приготовленные на основе одиночного гетероперехода GaAs–AlGaAs голограммическим методом ⁸. Квантовые нити в наших структурах имели ширину 150 нм и расстояние между ними составляло 150 нм. В большинстве исследованных образцов в процессе приготовления квазиодномерной структуры вытравливался лишь слой легированного AlGaAs вплоть до спейсера (образцы типа А), но в некоторых случаях протравливание осуществлялось и сквозь гетеропереход на глубину 80 нм (образцы типа Б). Для обеспечения возможности исследования квазиодномерных структур спектроскопическим методом применялись одиночные гетеропереходы с δ-легированием ⁴. В этих структурах на расстоянии 20 нм от интерфейса создавался монослой атомов акцепторов (Be) с концентрацией 10^{10} см^{-2} , благодаря чему при фотовозбуждении образца в непосредственной близости от электронов оказывались дырки, связанные на этих акцепторах. Как было показано ранее ⁹, эти гетероструктуры обладают двумя существенными преимуществами. Во-первых, в них, изменяя мощность или длину волны фотовозбуждения, удается управляемым образом менять в широком диапазоне концентрацию электронов в плоскости гетероперехода. Во-вторых, подвижность электронов при освещении увеличивается в десятки раз по сравнению со случаем, реализующимся в темноте. Остальные детали эксперимента и параметры структур можно найти в работах ^{4,7,8}.

3. Прежде всего необходимо отметить, что в отсутствии магнитного поля в спектре люминесценции квазиодномерных структур мы не обнаружили особенностей, связанных с подзонами одномерного квантования, хотя разрешающая способность нашего метода была не хуже 1,5 мэВ (например, уровни Ландау разрешались в магнитном поле 1 Т, что соответствует циклотронной энергии 1,7 мэВ). Поэтому необходимо заключить, что при $H = 0$ величина межподзонного расщепления, обусловленного одномерным квантованием не превышает 1,5 мэВ.

¹⁾ Институт Макса Планка, Штутгарт, ФРГ.

Поскольку в случае параболической потенциальной ямы в перпендикулярном магнитном поле энергетическое расщепление между квантовыми подуровнями ΔE определяется как циклотронным ($\hbar\omega_c$) так и одномерным ($\hbar\omega_0$) расщеплениями:

$$(\Delta E)^2 = (\hbar\omega_0)^2 + (\hbar\omega_c)^2, \quad (1)$$

то в квазиодномерных системах в магнитном поле следует ожидать усиления расщепления между уровнями Ландау. Таким образом, сравнивая значения циклотронного расщепления, измеренные в одномерном и двумерном случаях, можно определить величину одномерного квантования $\hbar\omega_0$.

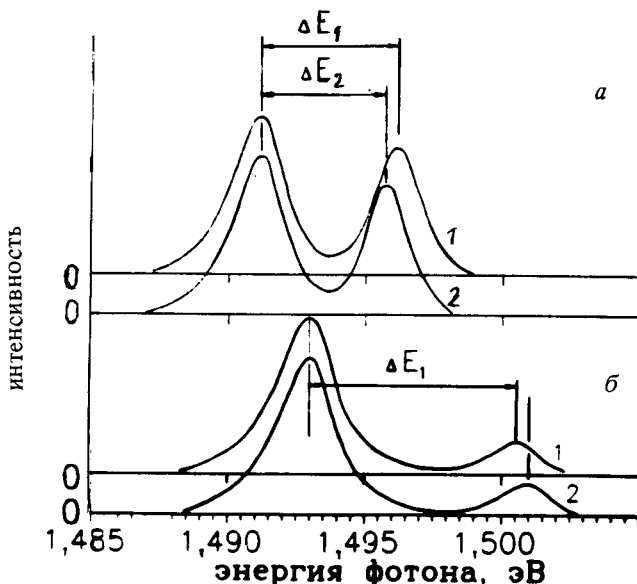


Рис. 1. Спектры излучательной рекомбинации, измеренные в одиночном гетеропереходе GaAs-AlGaAs с квантовыми нитями (1) и без них (2) при $n_S = 2,7 \cdot 10^{11} \text{ см}^{-2}$ в магнитном поле $H = 3 \text{ Т}$ (а) и $H = 5 \text{ Т}$ (б)

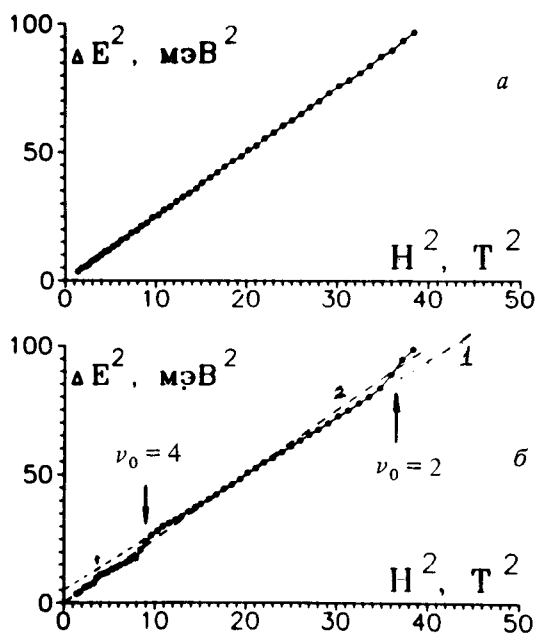


Рис. 2. Зависимости расщепления между уровнями Ландау от магнитного поля, измеренные в двумерном (а) и одномерном (б) случаях при $n_S = 2,7 \cdot 10^{11} \text{ см}^{-2}$. Пунктиром показаны линейные аппроксимации, полученные методом наименьших квадратов для двумерного (2) и одномерного (1) случаев

На рис. 1 представлены спектры излучательной рекомбинации, измеренные в одиночном гетеропереходе GaAs-AlGaAs как до изготовления квантовых нитей (2), так и после их изготовления (1). Отметим, что чаще сравнивались различные куски одной и той же пластины, которые были абсолютно эквивалентны до того как часть из них была использована для приготовления квазиодномерных структур. Как видно из рис. 1, наличие квантовых нитей действительно приводит к изменению расщепления уровней Ландау, однако эти изменения не соответствуют формуле (1). В эксперименте при изменении магнитного поля наблюдается как увеличение, так и уменьшение циклотронного расщепления в квазиодномерной системе, по сравнению с чисто двумерным случаем. Качественно такое поведение расщепления наблюдалось для всех структур и для различных концентраций электронов.

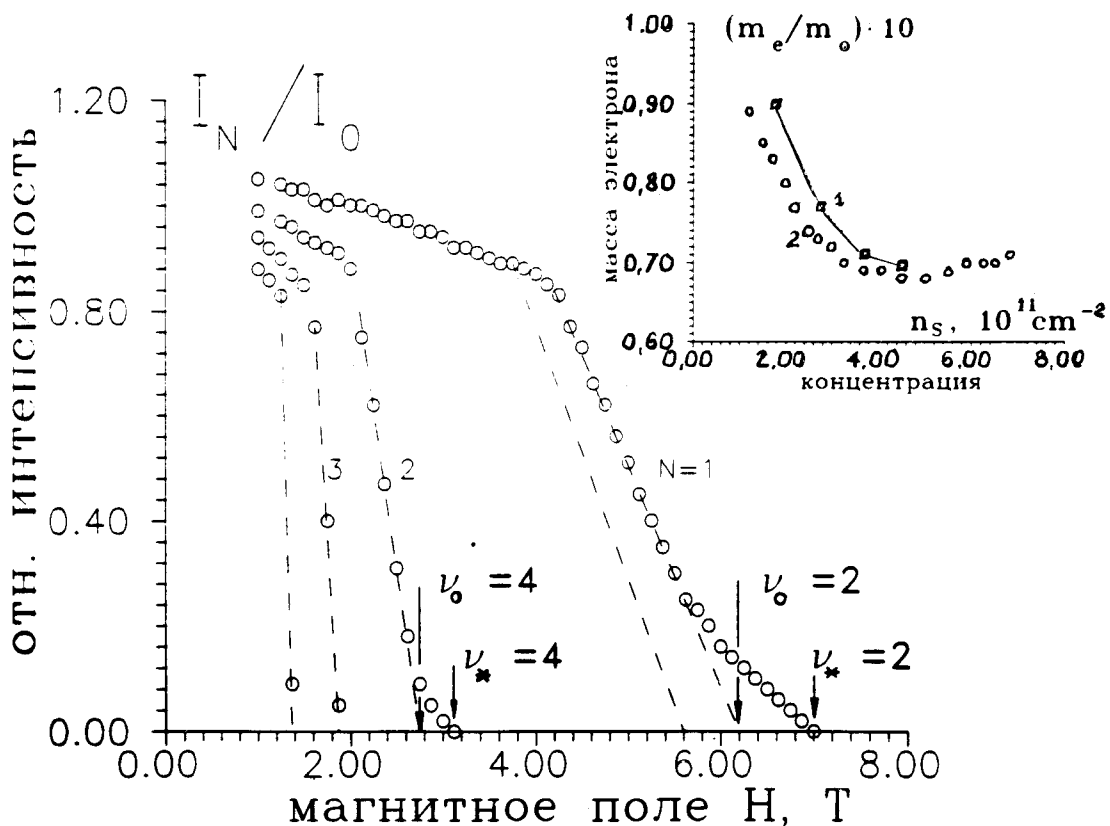


Рис. 3. Зависимость относительной интенсивности (I_N/I_0) линии излучения, отвечающей рекомбинации электронов с N -го уровня Ландау от магнитного поля. На вставке показаны зависимости массы двумерных и одномерных электронов от концентрации, измеренные из зависимостей $\Delta E(H)$

На рис. 2. показаны зависимости расщепления уровней Ландау от магнитного поля, измеренные в одинаковых условиях для квазиодномерной структуры типа A (с периодом $d = 300$ нм) и для двумерной системы без квантовых нитей при $n_S = 2,7 \cdot 10^{11} \text{ см}^{-2}$ и $\mu = 8 \cdot 10^5 \text{ см}^2/\text{В} \cdot \text{с}$ (данные представлены в координатах, соответствующих (1)). Как видно из верхней части этого рисунка, в двумерном случае наблюдается линейная зависимость $\Delta E(H)$, наклон которой определяется массой электронов: $m_e = 0,073m_0$ при $n_S = 2,7 \cdot 10^{11} \text{ см}^{-2}$ (изменение массы двумерных электронов от их концентрации, определенное таким методом, показана на вставке к рис. 3). Зависимость циклотронного расщепления, измеренная в квазиодномерном случае, представлена в нижней части рис. 2 и не соответствует уравнению (1).

Из рис. 2 видно, что в одномерном случае по мере увеличения магнитного поля наблюдается скачкообразное изменение расщепления Ландау в спектре люминесценции, причем эти скачки происходят в момент опустошения очередного уровня Ландау, которое сопровождается исчезновением соответствующей линии излучательной рекомбинации. Кроме того, характерный наклон зависимости квадрата расщепления (ΔE^2) от квадрата магнитного поля, измеренный в структурах с квантовыми нитями, отличается от наклона, определенного в двумерном случае. Из сопоставления зависимостей $\Delta E^2(H^2)$, измеренных в одномерном и двумерном случаях, можно сделать два вывода:

а. Эффективная масса электронов в одномерной системе превышает массу двумерных электронов: при $n_S = 2,7 \cdot 10^{11} \text{ см}^{-2}$, $m_{1D} = 0,077m_0$, $m_{2D} = 0,073m_0$ (см. вставку к рис. 3).

б. Форма одномерной потенциальной ямы и величина размерного квантования зависят от магнитного поля, а именно от числа заполненных уровней Ландау. При этом потенциальная яма тем уже, чем сильнее магнитное поле: $\hbar\omega_0 = 1,4 \text{ мэВ}$ при трех заполненных уровнях Ландау ($N = 3$) и $\hbar\omega_0 = 2,2 \text{ мэВ}$ при $N = 2$ для структуры типа А при $d = 300 \text{ нм}$ и $n_S = 2,7 \cdot 10^{11} \text{ см}^{-2}$.

Изменение ширины потенциальной ямы должно приводить к изменению локальной двумерной концентрации электронов и, следовательно, к изменению заполнения уровней Ландау, что должно отражаться на изменении относительной интенсивности соответствующих линий в спектре излучения. На рис. 3 показана зависимость относительной интенсивности линий люминесценции, отвечающих рекомбинации электронов с различных уровней Ландау ($N = 0, 1, 2, 3, 4$). Резкое уменьшение интенсивности соответствует опустошению уровня. Из рис. 3 видно, что при малых N момент полного опустошения уровня Ландау сдвигается в сторону больших магнитных полей, что отвечает увеличению локальной концентрации n_S , причем чем больше H , тем сильнее эффект (см. вставку на рис. 3). Согласно этим оценкам локальная концентрация n_S увеличилась (а значит ширина ямы уменьшилась) в 1,3 раза при увеличении H от 2 Т до 5 Т.

Наблюданное нами сужение потенциальной ямы в магнитном поле мы связываем с изменением квантового экранирования потенциала ямы электронами, которое происходит по мере опустошения квантовых подуровней в магнитном поле (аналогичное изменение формы ямы происходит при уменьшении числа заполненных одномерных подзон при $H = 0^{-10}$).

В заключение авторы благодарят В.Д.Кулаковского, С.В.Мешкова, В.Б.Тимофеева, В.И.Фалько и В.Б.Шикина за полезные обсуждения.

Литература

1. Van Wees B.J. et al. Phys. Rev. Lett., 1988, 60, 848.
2. Roukes M.L. et al. Phys. Rev. Lett., 1988, 59, 3011.
3. Skocpol W.J. et al. Phys. Rev. Lett., 1986, 56, 2865.
4. Кукушкин И.В., Тимофеев В.В. Письма в ЖЭТФ, 1984, 40, 413.
5. Kukushkin I.V. et al. Sol. State Comm., 1989, 70, 1015.
6. Kukushkin I.V. et al. Phys. Rev. B, 1988, 37, 8509.
7. Kukushkin I.V. et al. Festkorperprobleme, 1988, 28, 21.
8. Demel T. et al. Apl. Phys. Lett., 1988, 53, 2176.
9. Kukushkin I.V. et al. Phys. Rev. B, 1989, 40, 4179.
10. Laux S.E. et al. Surf. Sci., 1988, 196, 101.

Институт физики твердого тела
Академии наук СССР

Поступила в редакцию
10 января 1990 г.